

(مقاله پژوهشی)

**بررسی ارتعاشات غیرخطی میکرولوله حامل سیال تحت تحریک پارامتریک مغناطیسی\***رضا جهانگیری<sup>(۱)</sup> اکبر اللهوردی زاده<sup>(۲)</sup> بهنام داداش زاده<sup>(۳)</sup> حمید عظیم زاده<sup>(۴)</sup>

**چکیده** در این پژوهش، اثر پارامترهای مختلف سیستم روی پاسخ غیرخطی نوسانات جانبی میکرولوله تیرمانند حاوی سیال با شرایط مرزی دو سر ساده نامتحرک تحت شرایط تشدید پارامتریک مغناطیسی محوری بررسی می‌شود. از تئوری تغییر شکل‌های برشی مرتبه اول ردی و تئوری الاستیسیته غیرمحلّی ارینگن برای استخراج معادلات غیرخطی حاکم بر حرکات جانبی میکرولوله با لحاظ کردن جملات غیرخطی هندسی ون-کارمن استفاده می‌شود. در سرعت‌های جریان بالاتر از سرعت بحرانی آستانه فلاتر (متناظر با کوپلینگ مودهای اول و دوم)، رفتار سیستم غیرخطی دو درجه آزادی تحت شرایط تشدید پارامتریک مغناطیسی تحلیل می‌شود. با استخراج منحنی‌های پاسخ غیرخطی، اثرات پارامترهای دامنه تحریک مغناطیسی، پارامتر فرکانس تحریک و پارامتر غیرمحلّی تنش روی دامنه تشدید سیستم بررسی و مورد بحث قرار می‌گیرد.

**واژه‌های کلیدی** ارتعاشات غیرخطی؛ میکرولوله حاوی سیال؛ تشدید پارامتریک مغناطیسی؛ تئوری الاستیسیته غیرمحلّی.

## Nonlinear Vibration Analysis of Fluid Conveying Microtube under Parametric Magnetic Excitation

R. Jahangiri

A. Allahverdzadeh

B. Dadashzadeh

H. Azimzadeh

**Abstract** In this research, effects of various system parameters on nonlinear response of transverse vibrations of beam-like fluid conveying microtube with fixed simply supported boundary conditions under axial magnetic parametric resonance condition is investigated. Reddy's first order shear deformation theory and Eringen nonlocal elasticity theory are used to derive microtube nonlinear equations of transverse motion considering nonlinear geometric terms of von-Karman. For fluid flow velocities more than flutter critical velocity, behavior of 2 DoF nonlinear system is studied under parametric magnetic resonance condition. By deriving nonlinear response curves, effects of various parameters including magnetic excitation amplitude, parameter of excitation frequency and nonlocal stress parameter on resonance amplitude is investigated and discussed.

**Key Words** Nonlinear Vibrations, Fluid Conveying Microtube, Parametric Magnetic Resonance, Nonlocal Elasticity Theory

\* تاریخ دریافت مقاله ۹۸/۱/۲۳ و تاریخ پذیرش آن ۹۹/۲/۲ می‌باشد. DOI: 10.22067/fum-mech.v3i1i1.80049

(۱) نویسنده مسئول: استادیار، مهندسی مکانیک، دانشگاه آزاد اسلامی، سلماس. r\_jahangiri@tabrizu.ac.ir

(۲) استادیار، گروه مهندسی مکترونیک، دانشگاه تبریز، تبریز

(۳) استادیار، گروه مهندسی مکترونیک، دانشگاه تبریز، تبریز

(۴) کارشناسی ارشد، مهندسی مکانیک، دانشگاه آزاد اسلامی، سلماس

## مقدمه

میکرو لوله‌ها به‌طور گسترده در مدارهای میکرو سیالاتی، تجهیزات بیومکانیکی و سیستم‌های میکرو الکترو مکانیکی کاربرد دارند. لذا مدل‌سازی و تحلیل رفتار دینامیکی و پایداری میکرو لوله‌های حاوی سیال تحت شرایط مرزی و نیروهای خارجی وارد شده به آنها حائز اهمیت است.

پایدوسی و همکارانش [1] در تحقیقات خود با گسترش دادن تئوری‌ها و مفاهیم اصلی ناپایداری و رفتار ارتعاشی لوله‌های حاوی سیال، اندرکنش بین سازه و سیال را مورد بررسی قرار دادند. در تحقیق دیگری پایدوسی و همکاران [2] به بررسی و مطالعه تأثیر شرایط مرزی روی پایداری، فرکانس‌های طبیعی و مودهای ارتعاشی لوله‌های حامل سیال پرداختند و نشان دادند که رفتار دینامیکی لوله‌های حامل سیال مشابه رفتار دینامیکی سیستم‌هایی است که در آنها مؤلفه شتاب کریولیس از اندرکنش بین سیال با مرز لوله به ایجاد می‌شود. سینها و همکاران [3] با تجزیه و تحلیل رفتار دینامیکی لوله‌های حامل سیال نشان دادند که برای دستیابی به نتایج دقیق‌تر و معتبر بایستی اثر جرم خود سیال جاری نیز در مدل‌سازی لحاظ گردد.

با توجه به اهمیت و کاربردهای فراوان لوله‌های حاوی سیال در ابعاد میکرو و نانو، انصاری و همکاران [4,5] در تحقیقات خود به بررسی رفتار ارتعاشی خطی و غیرخطی و پایداری دینامیکی نانو و میکرو لوله‌های حامل سیال پرداختند. قاضوی و همکاران [6,7] با استفاده از تئوری کلاسیک الاستیسیته به بررسی تحریک پارامتریک میکرو تیر یکسرگیردار تحریک شده با لایه‌های پیزوالکتریک پرداختند. در میکرو و نانو سازه‌ها اندازه سازه به دلیل تعاملات مولکولی پاسخ را تحت تأثیر قرار می‌دهد. ارینگن [8,9] یک تئوری پیشنهاد داده است که بر اساس آن مؤلفه‌های تنش در هر نقطه تابعی از کرنش‌های تمام نقاط سازه هستند. لذا رابطه تنش-کرنش به فاصله بین دو نقطه

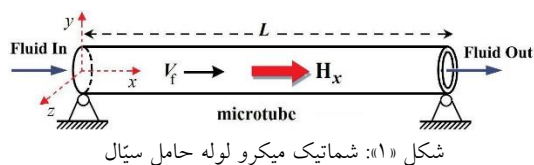
وابسته است؛ بنابراین بر اساس تئوری الاستیسیته غیر محلی، تنش تابعی از پارامتر مقیاس طول خواهد بود. لی و همکاران [10] رفتار دینامیکی نانو لوله‌های ویسکوالاستیک میرا شونده غیر محلی را بررسی کردند. برای این منظور با استفاده از مدل ویسکوالاستیک کلونین-وویت، میرایی خارجی وابسته به سرعت و تئوری تیر تیموشنکو معادلات حاکم و شرایط مرزی برای بررسی ارتعاشات خمشی نانو تیر استخراج شده است. برخلاف سازه‌های محلی با لحاظ کردن اینرسی دورانی و تغییر شکل برشی، تیر غیرمحلی دارای فرکانس‌های حداکثری بوده که فرکانس‌های مجانبی نامیده می‌شوند که برای تیرهای تیموشنکو غیر محلی میرا و نامیرا به‌دست آمده‌اند. کیانی ارتعاشات ایجاد شده توسط جریان [11] و آرانی و همکاران ارتعاشات تحت نیروی مغناطیسی [12] را برای بررسی و مطالعه ارتعاشات اجباری نانو لوله‌های حاوی سیال بر اساس تئوری الاستیسیته غیر محلی مد نظر قرار داده‌اند. صادقی و همکاران ناپایداری فلاتر نانولوله‌های کربنی یکسرگیردار حاوی سیال تحت تأثیر میدان مغناطیسی طولی را جهت کاربرد در سیستم‌های بیولوژیکی و ابزارهای پزشکی نوظهور برای دارورسانی جهت درمان سرطان مورد مطالعه قرار داده‌اند [13].

بهاءالدینی و حسینی [14] اثرات الاستیسیته غیر محلی و شرط لغزش را بر روی ارتعاشات آزاد و ناپایداری فلاتر نانو لوله‌های یکسر گیردار ویسکوالاستیک کربنی حامل سیال بررسی نمودند. از روش همپلتون و تئوری تیر غیرمحلی اویلر برنولی برای استخراج معادلات حاکم استفاده شده است. از روش گلرکین توسعه یافته برای گسسته سازی معادلات حاکم و مقادیر ویژه و سرعت‌های فلاتر بحرانی استفاده شده است. بهاءالدینی و همکاران [15] ناپایداری‌های فلاتر و واگرایی نانولوله پیزوالکتریکی گیردار حامل سیال را بررسی کردند. در این مطالعه از تئوری الاستیسیته غیر محلی برای لحاظ کردن اثرات

ارتعاشات غیرخطی میکرولوله حاوی سیال تحت شرایط رزونانس پارامتریک مغناطیسی پرداخته خواهد شد و اثرات پارامترهای مختلف اعم از دامنه تحریک مغناطیسی، پارامتر تنظیم فرکانس و پارامتر غیرمحلّی تنش روی دامنه تشدید سیستم بررسی و مورد بحث قرار می‌گیرد.

### مدل سازی

شماتیک میکرولوله مغناطیس شونده حامل سیال با سرعت  $V_f$  و به طول  $L$ ، شعاع  $R$  و ضخامت  $h$  با شرایط مرزی ساده نامتحرک در شکل (۱) نشان داده شده است.



با به کارگیری میدان تغییر شکل به صورت:

$$\begin{aligned} U(x, z, t) &= u(x, t) + z\phi_x(x, t) \\ W(x, z, t) &= w(x, t) \end{aligned} \quad (1)$$

که در آن  $u$  و  $w$  بیانگر مؤلفه‌های جابجایی محوری و جانبی نقاط واقع بر محور ختشی میکرولوله مغناطیس شونده بوده و  $\phi_x$  چرخش بردارهای نرمال بر مقطع عرضی حول محور  $y$  است. با استفاده از تئوری تغییر شکل مرتبه اول ردی می‌توان اجزاء نیروی محوری  $N_x$ ، گشتاور خمشی  $M_x$  و نیروی برشی مرتبه اول  $Q_x$  مربوط به میکرولوله تیرمانند را با انتگرال‌گیری روی مقاطع عرضی آن به صورت ماتریسی زیر استخراج کرد:

$$\begin{aligned} N_x &= A_{11}\epsilon_m + B_{11}\epsilon_b \\ M_x &= B_{11}\epsilon_m + D_{11}\epsilon_b \\ Q_x &= A_{55}\epsilon_s \end{aligned} \quad (2)$$

اندازه در محاسبات و همچنین تئوری تیر اویلر برنولی به همراه اثرات تنش سطحی استفاده کردند و تأثیرات ولتاژ پیزوالکتریک، اثرات سطح، پارامتر غیر محلّی و شرایط مرزی را بر روی مرزهای واگرایی و فلاتر نانولوله مورد بحث قرار دادند.

یانگ و همکاران [16] ارتعاشات غیرخطی آزاد ایجاد شده توسط میکرو سیالات را در میکرولوله‌ها با استفاده از تئوری تنش کوپل شده به صورت تحلیلی مورد مطالعه قرار دادند. سعادت‌نیا و اسماعیل‌زاده [17] روش اغتشاشات را برای مطالعه ارتعاشات هارمونیک غیرخطی نانو لوله‌های پیزوالکتریکی حامل سیال با استفاده از تئوری کلاسیک الاستیسیته بکار بردند. یانگ و همکاران [18] با استفاده از روش مقیاس‌های چندگانه، رفتار ارتعاشی لوله‌های ویسکو-الاستیک حامل سیال را مورد مطالعه قرار دادند و نواحی پایداری رفتار دینامیکی را به ازای تغییرات پارامترهای مختلف مسئله تجزیه و تحلیل کردند.

با توجه به پیشینه پژوهش، تاکنون مسئله ارتعاشات غیرخطی و غیرمحلّی میکرولوله مغناطیس شونده حاوی سیال تحت فلاتر و تحت شرایط تشدید پارامتریک مغناطیسی به صورت جامع مورد بررسی قرار نگرفته است. در این راستا ابتدا با استفاده از تئوری تغییر شکل‌های برشی مرتبه اول با لحاظ کردن اثر جملات غیرخطی هندسی ون-کارمن و تئوری الاستیسیته غیرمحلّی ارینگن، به مدل‌سازی رفتار دینامیکی میکرولوله حامل سیال تحت تحریک پارامتریک مغناطیسی در آن‌سوی ناپایداری سیال انگیخته فلاتر پرداخته می‌شود. با توجه به اینکه هم‌زمانی تحریک پارامتریک مغناطیسی و جریان محوری سیال با در نظر گرفتن اثر کوپلینگ موده‌های ارتعاشی آن‌سوی سرعت بحرانی متناظر با آستانه فلاتر، تأثیر عمده بر رفتار غیرخطی میکرولوله‌ها دارند، لذا با استفاده از روش مقیاس‌های چندگانه و با در نظر گرفتن اثر کوپلینگ موده‌های ارتعاشی به بررسی

که در آن  $\theta = -\frac{\partial w}{\partial x}$  زاویه محور لوله نسبت به راستای افقی در هر نقطه و  $V_f$  نشان‌دهنده سرعت اصلاح شده سیال با استفاده از عدد نادسن است. از این‌رو، انرژی جنبشی جریان سیال گذرنده از سطح مقطع عرضی  $A_f$  با سرعت  $V_f$  به صورت زیر بیان می‌شود:

$$T_{Fluid} = \frac{1}{2} \int_0^L \int_{A_f} \rho_f (\dot{U}^2 + W^2 + 2\dot{U}V_f \cos \theta - 2\dot{W}V_f \sin \theta) dA_f dx \quad (۶)$$

حال با به‌کارگیری روابط ماکسول و فرم محلی قوانین تعادل به استخراج نیروی لورنتز انگیزه شده توسط میدان مغناطیسی طولی می‌پردازیم. با فرض اینکه دامنه میدان مغناطیسی نسبت به راستای طولی دارای توزیع یکنواخت است؛ با استفاده از تئوری کلاسیک الکترومغناطیس، کار مجازی انجام شده جانی توسط میدان مغناطیسی طولی روی میکرو لوله را می‌توان به صورت زیر نوشت [19]:

$$\delta V_{Lorentz} = \int_0^L \eta A H_x^2 \frac{\partial^2 w}{\partial x^2} \delta w dx \quad (۷)$$

که در آن  $\eta$  ضریب نفوذپذیری میدان مغناطیسی و  $H_x$  دامنه میدان مغناطیسی تحریک در راستای محور لوله است. کار مجازی انجام شده روی جریان سیال ویسکوز توسط انحنای میکرولوله دربرگیرنده اثرات شتاب‌های مماسی و جانب مرکز سیال است که با فرض ثابت بودن چگالی سیال نسبت به مکان و زمان می‌توان با استفاده از معادلات ناویر استوکس آن را به صورت زیر استخراج نمود:

$$\begin{aligned} \delta W_{viscosity} &= - \int_0^L \left( -\mu_e A_f \frac{\partial^3 u}{\partial x^2 \partial t} - \mu_e A_f V_f \frac{\partial^3 w}{\partial x^3} \sin \theta \right. \\ &+ \left. \mu_e A_f V_f \left( \frac{\partial^2 w}{\partial x^2} \right)^2 \cos \theta \right) \delta U dz \\ &- \int_0^L \left( -\mu_e A_f \frac{\partial^3 w}{\partial x^2 \partial t} - \mu_e A_f V_f \frac{\partial^3 w}{\partial x^3} \cos \theta \right. \\ &- \left. \mu_e A_f V_f \left( \frac{\partial^2 w}{\partial x^2} \right)^2 \sin \theta \right) \delta W dz \end{aligned} \quad (۸)$$

در رابطه فوق  $\epsilon_m = \frac{\partial u}{\partial x} + 0.5 \left( \frac{\partial w}{\partial x} \right)^2$  کرنش غشائی،  $\epsilon_b = \frac{\partial \phi_x}{\partial x}$  کرنش خمشی و  $\epsilon_s = \phi_x + \frac{\partial w}{\partial x}$  کرنش برشی مرتبه اول می‌باشند. همچنین در روابط فوق  $A_{11}$ ،  $B_{11}$  و  $D_{11}$  به ترتیب نشان‌دهنده اعضای ماتریس‌های سختی محوری، کوپلینگ خمشی-محوری و کوپلینگ خمشی بوده و  $A_{55}$  نشان‌دهنده اعضای ماتریس‌های سختی برشی میکرو لوله مغناطیس شونده است. با استفاده از مدل تیر ردی و اصل همیلتون، مجموع انرژی کرنشی ذخیره شده داخل میکرو لوله مغناطیس شونده ناشی از اعمال بارهای مکانیکی خارجی به صورت زیر نوشته می‌شود:

$$\begin{aligned} \int_{t_1}^{t_2} \delta U dt &= \int_{t_1}^{t_2} [(N_x \cdot n) \delta u \\ &+ (N_x \frac{\partial w}{\partial x}) \cdot n \delta w + (Q_x \cdot n) \delta w \\ &+ (M_x \cdot n) \delta \phi_x] dt + \int_{t_1}^{t_2} \int_0^L \left[ -\frac{\partial N_x}{\partial x} \delta u \right. \\ &- \frac{\partial}{\partial x} (N_x \frac{\partial w}{\partial x}) \delta w - \frac{\partial Q_x}{\partial x} \delta w - \frac{\partial M_x}{\partial x} \delta \phi_x \\ &+ \left. Q_x \delta \phi_x \right] dx dt \end{aligned} \quad (۳)$$

در رابطه فوق  $n$  نشان‌دهنده بردار نرمال بر مرزهای محیطی سطح میانی میکرو لوله است. از طرف دیگر انرژی جنبشی ذخیره شده در میکرو لوله تیرمانند را می‌توان به شکل زیر بیان کرد:

$$T_{Microtube} = \frac{1}{2} \int_0^L \int_0^{2\pi} \int_{-h/2}^{h/2} \rho(z) (\dot{U}^2 + W^2) dz R d\theta dx \quad (۴)$$

که در آن  $U$  و  $W$  مؤلفه‌های جابجایی محوری و جانبی نقاط داخل میکرو لوله هستند. با فرض اینکه  $\vec{V} = V_x \mathbf{i} + V_z \mathbf{k}$  نشان‌دهنده میدان سرعت نسبی مابین سیال و میکرو لوله مغناطیس شونده باشد می‌توان مؤلفه‌های میدان سرعت داخل میکرو لوله را به صورت زیر در نظر گرفت:

$$\begin{aligned} V_x(x, t) &= \dot{U} + V_f \cos \theta \\ V_z(x, t) &= \dot{W} - V_f \sin \theta \end{aligned} \quad (۵)$$

$$+\mu_e A_f V_f \left( \frac{\partial^2 w}{\partial x^2} \right)^2 ] = 0$$

$$\begin{aligned} & A_{55} \left( \frac{\partial \phi_x}{\partial x} + \frac{\partial^2 w}{\partial x^2} \right) \\ & + \left( 1 - e_0 a^2 \frac{\partial^2}{\partial x^2} \right) \left( -\frac{\partial}{\partial x} \left( N_x \frac{\partial w}{\partial x} \right) + I_0 \ddot{w} \right. \\ & - I_{0f} V_f \left( \frac{\partial \dot{u}}{\partial x} \frac{\partial w}{\partial x} + \dot{u} \frac{\partial^2 w}{\partial x^2} \right) \\ & - I_{1f} V_f \left( \frac{\partial \dot{\phi}_x}{\partial x} \frac{\partial w}{\partial x} + \dot{\phi}_x \frac{\partial^2 w}{\partial x^2} \right) \\ & + 2I_{0f} V_f \frac{\partial \dot{w}}{\partial x} - I_{0f} V_f \left( \dot{w} \frac{\partial^2 w}{\partial x^2} \frac{\partial w}{\partial x} \right) \\ & - \mu_e A_f \frac{\partial^3 w}{\partial x^2 \partial t} - \mu_e A_f V_f \frac{\partial^3 w}{\partial x^3} \\ & + \mu_e A_f V_f \left( \frac{\partial^2 w}{\partial x^2} \right)^2 \frac{\partial w}{\partial x} + I_{0f} V_f^2 \frac{\partial^2 w}{\partial x^2} \\ & \left. + I_{0f} \dot{V}_f \frac{\partial w}{\partial x} + \eta A H_x^2 \frac{\partial^2 w}{\partial x^2} + \mu \dot{w} \right) = 0 \end{aligned} \quad (12)$$

$$\begin{aligned} & B_{11} \frac{\partial^2 u}{\partial x^2} + D_{11} \frac{\partial^2 \phi_x}{\partial x^2} + B_{11} \frac{\partial^2 w}{\partial x^2} \frac{\partial w}{\partial x} \\ & - A_{55} \left( \phi_x + \frac{\partial w}{\partial x} \right) - \left( 1 - e_0 L^2 \frac{\partial^2}{\partial x^2} \right) \\ & (I_1 \ddot{u} + I_2 \ddot{\phi}_x) = 0 \end{aligned} \quad (13)$$

از پارامترهای بی بعد زیر به منظور بی بعد سازی معادلات حاکم استفاده می کنیم:

$$\begin{aligned} \bar{u} &= \frac{u}{L}, \bar{x} = \frac{x}{L}, \bar{w} = \frac{W}{h}, e_n = \frac{e_0 a}{L}, \\ \eta &= \frac{L}{R}, \beta = \frac{h}{R}, \rho_b = \frac{\rho_f}{\rho_t}, f = \frac{A_f}{A_t}, \\ V &= \frac{V_f}{\omega^* L}, \bar{t} = \omega^* t, \mu_{eb} = \mu \sqrt{\frac{L^4}{I_{0,t} D_{11}}}, \\ H &= H_x \sqrt{\frac{\eta_m L^4}{D_{11}}}, \omega^* = \sqrt{\frac{D_{11}}{I_{0,t} L^4}} \end{aligned} \quad (14)$$

در اینجا  $e_n$  مشخصه بدون بعد غیر محلی تنش،  $\eta$  و  $\beta$  نشان دهنده مشخصه نسبت های منظر بدون بعد میکرولوله و  $\rho_b$  و  $f$  به ترتیب بیانگر چگالی بدون بعد و نسبت سطح مقطع گذر سیال به سطح مقطع عرضی میکرولوله مغناطیس شونده،  $V$  و  $\mu_{eb}$  نیز به ترتیب

که در آن  $\mu_e$  بیانگر ویسکوزیته مؤثر سیال است.

کار مجازی انجام شده در سیستم شامل کار اثرات میدان مغناطیسی طولی و ویسکوزیته جریان سیال داخل میکرولوله است که با جایگذاری آن در اصل همیلتون:

$$\begin{aligned} & \delta \int_{t_1}^{t_2} (T - U) dt \\ & + \int_{t_1}^{t_2} (\delta W_{Lorentz} + \delta W_{Viscosity}) dt = 0 \end{aligned} \quad (9)$$

و سپس با متحد صفر قرار دادن ضرایب  $\delta \phi_x$ ،  $\delta u$  و  $\delta w$  مربوط به انتگرال های سطحی و انتگرال های خطی، سه معادله دیفرانسیل غیرخطی با مشتقات جزئی حاکم بر حرکات محوری  $u$ ، دورانی  $\phi_x$  و جانبی  $w$  نقاط واقع بر صفحه میانی میکرولوله حاوی سیال تحت شرایط مرزی مورد نظر در حضور اثرات اینرسی های محوری، دورانی و عرضی استخراج می گردد.

تئوری الاستیسیته غیر موضعی که برای نخستین بار توسط ارینگن [9] پیشنهاد شد علاوه بر اجتناب از حل معادلات پیچیده، توانایی پیش بینی رفتار نانو و میکرو سازه ها را دارد. از این رو با به کارگیری مدل الاستیسیته غیر محلی ارینگن:

$$\begin{aligned} \sigma_{xx} - e_0 a^2 \frac{\partial^2 \sigma_{xx}}{\partial x^2} &= Q_{11} \varepsilon_{xx} \\ \sigma_{xz} - e_0 a^2 \frac{\partial^2 \sigma_{xz}}{\partial x^2} &= Q_{55} \gamma_{xz} \end{aligned} \quad (10)$$

و با انجام عملیات ریاضی لازم معادلات حاکم بر حرکات محوری، جانبی و دورانی میکرولوله مغناطیس شونده حاوی سیال به شکل زیر دست آورد:

$$\begin{aligned} & A_{11} \frac{\partial^2 u}{\partial x^2} + B_{11} \frac{\partial^2 \phi_x}{\partial x^2} + A_{11} \frac{\partial^2 w}{\partial x^2} \frac{\partial w}{\partial x} \\ & - \left( 1 - e_0 a^2 \frac{\partial^2}{\partial x^2} \right) [I_0 \ddot{u} + I_1 \ddot{\phi}_x \\ & - V_f I_{0f} \frac{\partial \dot{w}}{\partial x} \frac{\partial w}{\partial x} - V_f^2 I_{0f} \frac{\partial^2 w}{\partial x^2} \frac{\partial w}{\partial x} + \dot{V}_f I_{0f} \\ & - \mu_e A_f \frac{\partial^3 u}{\partial x^2 \partial t} + \mu_e A_f V_f \frac{\partial^3 w}{\partial x^3} \frac{\partial w}{\partial x} \end{aligned} \quad (11)$$

چشم‌پوشی از اثرات اینرسی، حل تقریبی مؤلفه‌های جابجایی محوری و دورانی میکرو لوله مغناطیس شونده با شرایط مرزی تکیه‌گاهی ساده نامتحرک (۱۵) را به صورت تابعی از دامنه عرضی این شکل مودها به فرم زیر بیان کرد:

$$u(x, t) = \sum_{m=1}^M U_m(t) \sin m\pi x \quad (17)$$

$$\phi_x(x, t) = \sum_{m=1}^M \Phi_{x_m}(t) \cos m\pi x$$

که در اینجا، توابع زمانی  $U_m(t)$  و  $\Phi_{x_m}(t)$  نشان‌دهنده دامنه زمانی تغییر شکل‌های محوری و دورانی متناظر با هر یک از شکل مودهای محوری و دورانی می‌باشند. با صرف نظر از اثر اینرسی‌های محوری و دورانی و با جایگذاری  $u(x, t)$  و  $\phi_x(x, t)$  از رابطه (۱۷) در معادلات (۱۲ و ۱۳) حاکم و سپس با اعمال روش گالرکین، می‌توان  $U_m(t)$  و  $\Phi_{x_m}(t)$  را بر حسب دامنه زمانی جابجایی‌های جانبی میکرو لوله به دست آورد. در ادامه با استفاده از دو شکل مود ارتعاشی اول میکرو لوله در تقریب میدان جابجایی‌های جانبی و با جایگذاری روابط (۱۷) در معادله حاکم بر حرکات جانبی (۱۳) و سپس با اعمال روش گالرکین، می‌توان معادلات دیفرانسیل حاکم بر حرکات جانبی میکرو لوله حاوی سیال در حضور تحریک مغناطیسی محوری با دامنه هارمونیک را به شکل دستگاه معادلات دیفرانسیل معمولی زیر به دست آورد:

$$\begin{aligned} \dot{w}_1 + a_1 \mu_{eb} \dot{w}_1 + a_2 V \dot{w}_2 \\ + (\omega_1^2 + a_3 H^2(t)) w_1 + a_4 \mu_{eb} V w_2 + h_1^{NL} \\ = 0 \end{aligned} \quad (18)$$

$$\begin{aligned} \dot{w}_2 + b_1 \mu_{eb} \dot{w}_2 + b_3 V \dot{w}_1 \\ + (\omega_2^2 + b_4 H^2(t)) w_2 + h_2^{NL} = 0 \end{aligned}$$

که در آن  $\omega_1$  و  $\omega_2$  نشان‌دهنده فرکانس‌های طبیعی میکرو لوله با دخالت دادن اثرات سرعت جریان، تحریک مغناطیسی متناظر با هر کدام از درجات آزادی سیستم می‌باشند. معادلات (۱۸) دربرگیرنده جملات

نشان‌دهنده پارامتر مشخصه بی‌بعد سرعت و ویسکوزیته بی‌بعد سیال،  $\omega^*$  فرکانس مرجع و  $H$  پارامتر بدون بعد میدان مغناطیسی اعمالی در راستای محور میکرو لوله مغناطیس شونده می‌باشند. به منظور سادگی از بالا نویس بار در پارامترهای بی‌بعد شده صرف نظر می‌شود. با توجه به شکل (۱) فرض می‌کنیم که شرایط مرزی تکیه‌گاهی حاکم بر حرکات طولی و جانبی لبه‌های ابتدایی و انتهایی میکرو لوله تیرمانند از نوع ساده نامتحرک به صورت زیر است:

$$x = 0, L : u = w = M_x = 0 \quad (15)$$

تحقیقات انجام گرفته در زمینه آنالیز دینامیکی تیرها نشان داده است که تأثیر شکل مودهای مربوط به فرکانس‌های پائین بسیار چشمگیرتر و غالب بر اثرات شکل مودهای متناظر با فرکانس‌های بالا می‌باشند [20]. لذا برای مطالعه و بررسی تغییر شکل‌های دینامیکی جانبی و غیرخطی تیرها و صفحات می‌توان در روش گالرکین از چند شکل مود قابل قبول که شرایط مرزی تکیه‌گاهی مربوط به لبه‌های تیر و یا صفحه را ارضاء می‌کنند؛ استفاده کرد و معادلات تعادل دینامیکی کوپل شده دیفرانسیلی با مشتقات جزئی را به فرم معادلات دیفرانسیل غیرخطی معمولی تبدیل نمود. از این رو می‌توان تابع تغییر مکان جانبی استاتیکی نقاط روی میکرو لوله مغناطیس شونده را به شکل زیر در نظر گرفت:

$$w(x, t) = \sum_{m=1}^M w_m(t) \phi_m(x) \quad (16)$$

$$= \sum_{m=1}^M w_m(t) \sin m\pi x$$

در اینجا  $M$  نشان‌دهنده تعداد نیم موج‌ها در جهت محور  $x$  است و  $w_m(t)$  نشان‌دهنده دامنه وابسته به زمان در مود  $m$ ام است. معادلات حاکم بر حرکت (۱۳-۱۱) دربرگیرنده دستگاه معادلات کوپل شده غیرخطی بوده می‌توان همانند مراجع [21,22] و با

$$\begin{aligned} \dot{w}_1 + a_1 \mu_{eb} \dot{w}_1 + a_2 V \dot{w}_2 \\ + (\omega_1^2 + a_3 H^2(t)) w_1 + a_4 \mu_{eb} V w_2 = 0 \\ \dot{w}_2 + b_1 \mu_{eb} \dot{w}_2 + b_3 V w_1 \\ + (\omega_2^2 + b_4 H^2(t)) w_2 = 0 \end{aligned} \quad (21)$$

با جایگذاری حل همگن خطی هارمونیک  $w(t) = \{w\} e^{-i\omega t}$  که در آن  $\{w\} = \{w_1, w_2\}$  است؛ برای تغییر مکان‌های جانبی در (۲۱) می‌توان معادلات فلاتر خطی میکرولوله دربرگیرنده اثرات میدان مغناطیسی، سرعت جریان و ویسکوزیته جریان را به صورت زیر استخراج کرد:

$$\begin{aligned} \begin{bmatrix} a_{11} & a_{12} \\ a_{21} & a_{22} \end{bmatrix} \begin{bmatrix} w_1 \\ w_2 \end{bmatrix} = \begin{bmatrix} 0 \\ 0 \end{bmatrix} \\ a_{11} = \omega_1^2 + a_3 H^2 + a_1 \mu_{eb} i \omega - \omega^2 \\ a_{12} = a_2 V i \omega + a_4 \mu_{eb} V \\ a_{21} = b_3 V \\ a_{22} = \omega_2^2 + b_4 H^2 + b_1 \mu_{eb} i \omega - \omega^2 \end{aligned} \quad (22)$$

با حل مسئله، مقدار ویژه متناظر با (۲۲) مشخصات فلاتر خطی با تغییرات سرعت جریان به دست می‌آید. لذا با در نظر گرفتن مقادیر عددی کمیت‌های بدون بعد ویسکوزیته مؤثر سیال  $\mu_{eb} = 0$ ، نسبت ابعاد میکرولوله  $\beta = 0.096$  و  $\eta = 100$ ، پارامتر مقیاس طول  $e_n = 0.00282$  [23]، تحریک مغناطیسی  $H = 200$ ، چگالی بدون بعد  $\rho_b = 0.435$  و نسبت سطح مقطع گذر سیال به سطح مقطع عرضی میکرولوله مغناطیس شونده  $f = 5.205$ ، معادله مشخصه متناظر با (۲۲) حل گردید و در شکل‌های (۲ و ۳) منحنی‌های تغییرات بخش‌های موهومی و حقیقی مقادیر ویژه (فرکانس‌های طبیعی)  $\Omega_1$  و  $\Omega_2$  مربوط به شکل مودهای ارتعاشی اول و دوم میکرولوله مغناطیس شونده بر حسب سرعت جریان نشان داده شده است. با توجه به شکل (۲)، با افزایش سرعت جریان، منحنی مشخصه مربوط به مود اول به سمت مقدار صفر متناظر با سرعت  $V_A \approx 1.815$  نزدیک می‌شود به طوری که در این نقطه به سبب دوشاخگی منحنی مشخصه  $Re(\Omega_1)$  در شکل (۳)،

تحریک پارامتریک مغناطیسی و توابع غیرخطی  $h_i^{NL} = h_i(w_1, w_2)$  شامل جملات غیرخطی مرتبه دوم و سوم از دامنه تغییر مکان‌های جانبی دو شکل مود انتخابی و حاصل ضرب‌های آنها می‌باشند.

### بررسی تأثیر پارامتر مشخصه غیرمحلّی تنش روی سرعت آستانه فلاتر

با استفاده از دو شکل مود قابل قبول برای تخمین تغییر مکان‌های جانبی میکرولوله به صورت:

$$w(x, t) = w_1(t) \sin \pi x + w_2(t) \sin 2\pi x \quad (19)$$

و با نادیده گرفتن اثر جملات غیرخطی در (۱۸) و با صرف نظر کردن از اینرسی‌های  $\ddot{u}$  و  $\ddot{\phi}$  جابجایی‌های محوری و دورانی می‌توان حل تقریبی جابجایی‌های محوری و دورانی را به صورت زیر بیان کرد:

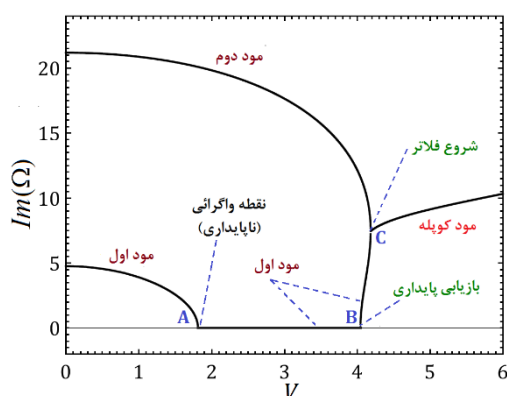
$$\begin{aligned} u(x, t) = U_1(t) \sin \pi x + U_2(t) \sin 2\pi x \\ \phi_x(x, t) = \Phi_{x_1}(t) \cos \pi x + \Phi_{x_2}(t) \cos 2\pi x \end{aligned} \quad (20)$$

که در آن:

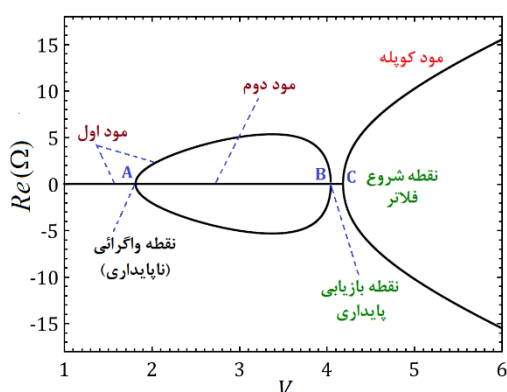
$$\begin{aligned} U_1(t) = C_1 V \mu_{eb} w_1(t)^2 + C_2 V^2 w_1(t) w_2(t) + \\ C_3 V \mu_{eb} w_2(t)^2 + C_4 V w_2(t) \dot{w}_2(t) + C_5 w_1(t) w_2(t) \\ U_2(t) = D_1 w_1(t)^2 + D_2 V \mu_{eb} w_1(t) w_2(t) \\ \Phi_{x_1}(t) = E_1 w_1(t) \\ \Phi_{x_2}(t) = F_1 w_2(t) \end{aligned}$$

در اینجا  $C_1, C_2, C_3, C_4, C_5, D_1, D_2, E_1$  و  $F_1$  ضرایب ثابت می‌باشند. در ادامه با جایگذاری حل تقریبی  $u(x, t)$  و  $\phi_x(x, t)$  از (۲۰) در معادلات حاکم بر حرکات جانبی و با اعمال مجدد روش گالرکین، می‌توان معادلات خطی حاکم بر تغییر مکان‌های جانبی میکرولوله را بر حسب دامنه شکل مودهای جانبی ارتعاشی به صورت زیر به دست آورد:

سرعت‌های  $V_C > V_B$  به علت کوپلینگ مودهای اول و دوم و به تبع آن بروز پدیده فلاتر، دینامیک حاکم بر نوسانات سیال انگیزته میکرو لوله با دو درجه آزادی دارای فرکانس‌های طبیعی تکراری خواهد بود.



شکل «۲»: تغییرات قسمت موهومی مقادیر ویژه شکل مودهای اول و دوم بر حسب سرعت بدون بعد سیال تحت شرط مرزی ساده نامتحرک



شکل «۳»: تغییرات قسمت حقیقی مقادیر ویژه شکل مودهای اول و دوم بر حسب سرعت بدون بعد تحت شرط مرزی ساده نامتحرک

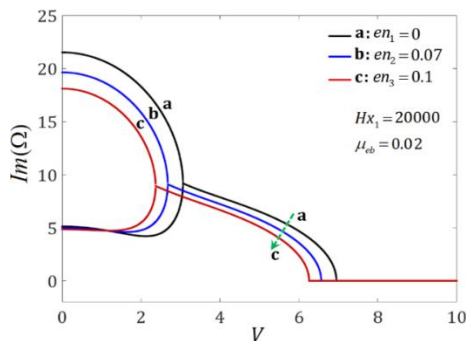
شکل‌های (۴ و ۵) به ترتیب نشان‌دهنده منحنی‌های تغییرات بخش‌های حقیقی و موهومی مقادیر ویژه متناظر با مودهای اول و دوم بر حسب سرعت جریان سیال برای مقدار خاصی از ویسکوزیته سیال  $\mu_{eb} = 0.01$  می‌باشند. با توجه به این شکل‌ها پیداست افزایش پارامتر مشخصه غیرمحلّی تنش یا پارامتر مشخصه مقیاس (en)، تأثیر قابل ملاحظه‌ای روی

سیستم دچار ناپایداری و اگرایی می‌شود. حال آنکه در این سرعت مودهای بالاتر پایدار باقی می‌مانند. از نقطه نظر فیزیکی می‌توان گفت که مود اول در مقادیر بالاتر از سرعت  $V_A$  دچار ناپایداری از نوع واگرایی می‌شود. در بازه  $V_A \leq V \leq V_B$  میکرو لوله هم‌زمان با جذب انرژی سیال و با تمایل به حفظ پایداری خود، انرژی جذب شده را به منظور تحریک شکل مودهای بالاتر بکار می‌گیرد.

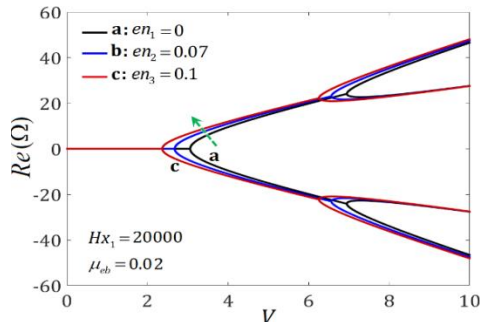
مطابق شکل (۲) با افزایش سرعت از مقدار  $V_A$  به سمت مقادیر بالاتر در بازه  $V_A \leq V \leq V_B$  بخش موهومی مود اول تا مقداری از سرعت که در آن مقدار هر دو بخش حقیقی  $Re(\Omega_1)$  (مثبت و منفی) غیر صفر می‌باشند، در مقدار صفر باقی می‌ماند درحالی‌که مود دوم در سرعت‌های پایین‌تر از سرعت  $V_B$  پایدار است. در سرعت  $V_B$  و سرعت‌های بالاتر، مود دوم نیز دچار ناپایداری و اگرایی می‌گردد. از این رو مطابق شکل (۲)، سرعت‌های  $V_A \approx 1.815$  و  $V_B \approx 4.045$  به ترتیب نشان‌دهنده سرعت‌های متناظر با وقوع ناپایداری و اگرایی مودهای اول و دوم می‌باشند. قسمت حقیقی  $Re(\Omega_1)$  و  $Re(\Omega_2)$  در بازه سرعت  $V_B \leq V \leq V_C$  صفر است (شکل ۳). در سرعت‌های  $V \leq V_C$ ، مقادیر ویژه مربوط به مودهای اول و دوم مجزا هستند اما با افزایش سرعت جریان از  $V_C$  به سمت سرعت‌های بالاتر، قسمت‌های موهومی مقادیر ویژه مودهای اول و دوم  $Im(\Omega_1)$  و  $Im(\Omega_2)$  با هم یکی شده و از مقدار صفر به سمت مقادیر مثبت افزایش می‌یابد، درحالی‌که قسمت‌های حقیقی آنها به سمت مقادیر غیر صفر مثبت و منفی دو شاخه می‌شوند. به عبارت دیگر، در سرعت‌های بالاتر از مقدار  $V_C$  مودهای طبیعی اول و دوم به صورت کامل به هم آمیخته شده و یک شکل مود کوپله شده ناپایدار را تشکیل می‌دهند که نشان‌دهنده ناپایداری فلاتر است. سرعتی که در آن ترکیب (انعقاد) شکل مودهای اول و دوم رخ می‌دهد، سرعت بحرانی آستانه فلاتر نامیده می‌شود. بنابراین در محدوده



شکل های (۶ و ۷) نشان دهنده منحنی های تغییرات بخش های حقیقی و موهومی مقادیر ویژه متناظر با مود های اول و دوم بر حسب سرعت جریان سیال برای  $\mu_{eb} = 0.02$  می باشند. با توجه به این شکل ها نیز دیده می شود به علت بزرگ بودن ویسکوزیته سیال و به تبع آن میرایی سیستم (در مقایسه با حالت قبل) هیچ کدام از شکل مودها قبل از فلاتر دچار ناپایداری نمی شوند. علاوه بر این با افزایش ویسکوزیته از درجه ناپایداری سیستم کاسته و محدوده فلاتر (سیکل حدی نوسانی پایدار با مود ترکیبی) را در مقایسه با ناپایداری محض بهبود می یابد. از طرف دیگر پیداست که پارامتر مشخصه غیرمحملی تنش اثر ناپایدار کننده داشته و با افزایش آن، سرعت شروع ناپایداری فلاتر (سرعت ترکیب مودهای اول و دوم) و واگرایی مود ترکیبی به تعجیل افتاده و در سرعت های پائین تر اتفاق می افتد.

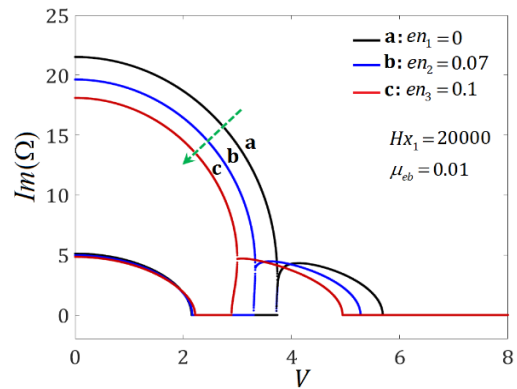


شکل «۶»: تغییرات قسمت موهومی مقادیر ویژه مودهای اول و دوم بر حسب سرعت جریان برای سه مقدار مختلف از پارامتر غیرمحملی تنش

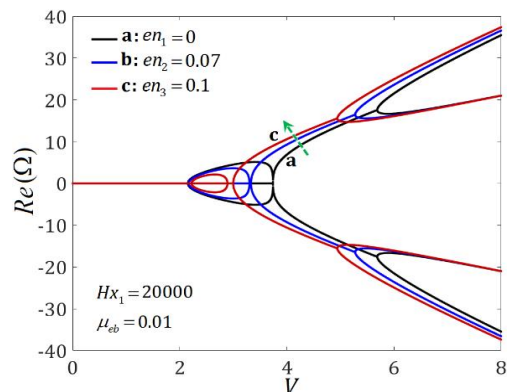


شکل «۷»: تغییرات قسمت حقیقی مقادیر ویژه مودهای اول و دوم بر حسب سرعت جریان برای سه مقدار مختلف از پارامتر غیرمحملی تنش

سرعت بحرانی مربوط به واگرایی شکل مود قابل قبول ندارد اما سبب می شود ناپایداری مربوط به مود دوم ارتعاشی در مقادیر پایین تر از سرعت جریان اتفاق بیفتد. به عبارت دیگر، افزایش دامنه تحریک مغناطیسی سبب تعجیل در شروع ناپایداری مربوط به شکل مود دوم می گردد. همچنین با توجه به این شکل ها مشاهده می شود که افزایش این پارامتر اثر ناپایدار ساز داشته و سبب می شود که ناپایداری فلاتر حاصل از کوپلینگ شکل مودها در مقادیر پایین تر از سرعت جریان اتفاق بیفتد. از طرف دیگر، در سرعت های بالاتر از سرعت کوپلینگ یا فلاتر مودها با افزایش این پارامتر، ناپایداری مود ترکیبی (متناظر با مود فلاتر) نیز به تعجیل افتاده و در سرعت های پائین تر اتفاق می افتد.



شکل «۸»: تغییرات قسمت موهومی مقادیر ویژه شکل مودهای اول و دوم بر حسب سرعت جریان برای سه مقدار مختلف از پارامتر غیرمحملی تنش



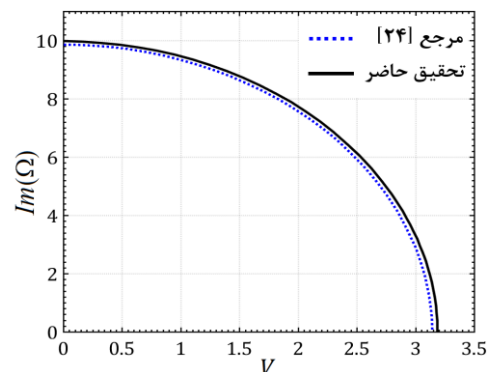
شکل «۹»: تغییرات قسمت حقیقی مقادیر ویژه شکل مودهای اول و دوم بر حسب سرعت جریان برای سه مقدار مختلف از پارامتر غیرمحملی تنش

اعتبارسنجی. به منظور مقایسه و اعتبارسنجی مدل ارائه شده در تحقیق اخیر، همانند مرجع [24] و در غیاب اثر تحریک پیزوالکتریک، فلاتر خطی و غیرمحللی میکرو لوله حاوی سیال (با مدل تیر کلاسیک غیرمحللی) در حضور جریان محوری مورد مطالعه و بررسی قرار می‌گیرد. برای این منظور با فرض شرایط مرزی تکیه گاهی دوسرگیردار حاکم بر ابتدا و انتهای میکرو لوله، منحنی های تغییرات فرکانس طبیعی بدون بعد مربوط به شکل مود خمشی اول ارتعاشی میکرو لوله بر حسب سرعت جریان و متناظر با ولتاژ بدون بعد  $V_{dc} = 0$  استخراج گردید و مطابق شکل (۸) نتایج مدل عددی حاضر با نتایج مرجع [24] مورد مقایسه قرار گرفت. با توجه به این شکل می توان دریافت که سازگاری و تطابق خوبی مابین نتایج دیده می‌شود.

می‌توان برای سادگی و آنالیز رفتار غیرخطی ویرای ناپایداری فلاتر ( $\lambda > \lambda_{cr}$ ) توأم با تشدید پارامتریک مغناطیسی از دو شکل مود قابل قبول ( $m = 1, 2$ ) در جهت جریان و اولین شکل مود ( $n = 1$ ) در جهت عمود بر جریان برای تقریب تغییر مکان‌های عرضی میکرو لوله استفاده کرده و معادلات دیفرانسیل غیرخطی حاکم را به صورت زیر تقلیل داد [25,26]:

$$\begin{aligned} \dot{w}_1 + \omega_1^2 w_1 &= -\varepsilon \lambda_1 \mu_{eb} \dot{w}_1 - \frac{1}{2} \varepsilon \lambda_2 H^2 \\ &- \frac{1}{2} \varepsilon \lambda_2 H^2 \cos \frac{\Omega t}{2} - \varepsilon \lambda_3 w_1^3 - \varepsilon \lambda_4 k_3 w_1^3 \end{aligned} \quad (23)$$

شکل (۸): صحت سنجی نتایج تحقیق حاضر در مقایسه با نتایج مرجع [24] برای تغییرات فرکانس طبیعی شکل مود قابل قبول بر حسب تغییرات سرعت



$$\begin{aligned} \dot{w}_1 + \omega_1^2 w_1 + \alpha_{12} \lambda w_2 + g_a \dot{w}_1 \\ + \eta_{11} H w_1 \cos \Omega t + g_{11} w_1^3 + g_{12} w_1 w_2^2 \\ = 0 \\ \dot{w}_2 + \omega_2^2 w_2 + \alpha_{21} \lambda w_1 + g_a \dot{w}_2 \\ + \eta_{22} H w_2 \cos \Omega t + g_{21} w_1^2 w_2 + g_{22} w_2^3 \\ = 0 \end{aligned} \quad (24)$$

در معادلات اخیر  $w_1(t)$  و  $w_2(t)$  نشان‌دهنده دامنه‌های ارتعاشی وابسته به زمان میکرو لوله در شکل مود (1,1) و (2,1) می‌باشند اگر جملات غیرخطی و جملات غیر خودگردان موجود در (24)، در مقایسه با جملات خطی کوچک فرض شوند؛ سیستم به یک سیستم غیر خودگردان با جملات غیرخطی ضعیف تبدیل می‌گردد. می‌توان برای به دست آوردن حل تقریبی این معادلات از روش اغتشاشات استفاده کرد. با توجه به اینکه در برخی از مسائل تأثیر و اهمیت

### تحلیل غیرخطی مسئله و مطالعه کمی پایداری

برای تحلیل رفتار غیرخطی میکرو لوله مغناطیس شونده حاوی سیال تحت تحریک پارامتریک مغناطیسی در شکل مود قابل قبول ارتعاشی، با فرض  $w(x, t) = w_1(t) \sin \pi x$  با استفاده از اولین معادله از معادلات دیفرانسیل (۱۸)، معادله دیفرانسیل حاکم بر حرکات جانبی میکرو لوله در شکل مود ارتعاشی اول در حضور تحریک مغناطیسی محوری

جملات غیرخطی، میرایی و تحریک پارامتریک می تواند نسبت به هم متفاوت باشد؛ لذا می توان با وارد کردن پارامتر کوچک و بدون بعد  $\varepsilon$  که به نوعی نشان دهنده مرتبه دامنه حرکات جانبی است، مرتبه بزرگی جملات موجود در مدل غیرخطی (۲۴) را در مقایسه با هم متفاوت و به ترتیب به صورت  $\varepsilon^{\beta_{ga}}$ ،  $\varepsilon^{\beta_N}$  و  $\varepsilon^{\beta_F}$  در نظر گرفت. با در نظر گرفتن فرضیات فوق می توان معادلات (۲۴) را به شکل ماتریسی زیر بیان کرد:

$$[I]\{\ddot{w}\} + [A]\{w\} + \varepsilon^{\beta_{ga}}[g_a]\{\dot{w}\} + \varepsilon^{\beta_F}H \cos \Omega t [\eta]\{w\} + \varepsilon^{\beta_N}[\Gamma]\{w\} = 0 \quad (25)$$

که در آن  $[\eta]$  ماتریس ضرایب نیروی محوری،  $[g_a]$  ماتریس ضرایب میرایی ناشی از اثر ویسکوزیته جریان و  $[\Gamma]$  ماتریسی است که عناصر آن توابعی مرتبه دوم از  $w_1$  و  $w_2$  می باشند:

$$[A] = \begin{bmatrix} \omega_1^2 & 0 \\ 0 & \omega_2^2 \end{bmatrix} + \lambda \begin{bmatrix} 0 & \alpha_{12} \\ \alpha_{21} & 0 \end{bmatrix}, \quad [g_a] = \begin{bmatrix} \tilde{g}_{a11} & 0 \\ 0 & \tilde{g}_{a22} \end{bmatrix}, \quad (26-f)$$

$$[\eta] = \begin{bmatrix} \tilde{\eta}_{11} & 0 \\ 0 & \tilde{\eta}_{22} \end{bmatrix}, \quad [\Gamma] = \begin{bmatrix} \tilde{\Gamma}_{11}w_1^2 & \tilde{\Gamma}_{12}w_1^2 \\ \tilde{\Gamma}_{21}w_1^2 & \tilde{\Gamma}_{22}w_2^2 \end{bmatrix}$$

که در آن،

$$\tilde{\eta}_{ij} = \varepsilon^{-\beta_F} \eta_{ij}, \quad \tilde{g}_{a ij} = \varepsilon^{-\beta_{ga}} g_{a ij}, \quad \tilde{\Gamma}_{ij} = \varepsilon^{-\beta_N} \Gamma_{ij} \quad (26-b)$$

برای بررسی رفتار غیرخطی میکرولوله و رای فلاتر (ناپایداری سیال انگیخته) و در نزدیکی فشار دینامیکی بحرانی، رابطه اغتشاشی به صورت پارامتر تنظیم فشار دینامیکی (فشار دینامیکی اغتشاشی)  $\lambda = \lambda_{cr} + \Lambda \varepsilon^{\beta_\Lambda}$  بیان می شود که در آن  $\Lambda$  نشان دهنده پارامتر تنظیم فشار دینامیکی (فشار دینامیکی اغتشاشی) و  $\varepsilon^{\beta_N}$  بیانگر مرتبه جمله جریان است. با استفاده از این فرض خواهیم داشت:

$$[A] = [A_{cr}] + (\lambda - \lambda_{cr})[\alpha_{nm}] = [A_{cr}] + \Lambda \varepsilon^{\beta_\Lambda} [\alpha_{nm}] \quad (27-f)$$

که در آن،

$$[A_{cr}] = [\omega_n^2] + \lambda_{cr}[\alpha_{nm}] \quad (27-b)$$

در آستانه فلاتر (به ازای فشار دینامیکی بحرانی  $\lambda_{cr}$ ) مقادیر ویژه ماتریس ضرایب سیستم خطی با کوپلینگ ناشی از ویسکوزیته جریان، تکراری می شوند که در این حالت با استفاده از تبدیل همانندی مستخرج از بردارهای ویژه نرمالیزه ماتریس  $[A_{cr}]$  به صورت  $\{w\} = [Z]\{u\}$  می توان ماتریس  $[A_{cr}]$  را به فرم کانونیکال جردن تبدیل کرده و معادله ماتریسی (۲۵) را به شکل زیر نوشت:

$$[I]\{\ddot{u}\} + [J_c]\{u\} + \varepsilon^{\beta_\Lambda} \Lambda [\hat{\alpha}]\{u\} + \varepsilon^{\beta_{ga}} [\hat{g}_a]\{\dot{u}\} + \varepsilon^{\beta_F} H \cos \Omega t [\hat{\eta}]\{u\} + \varepsilon^{\beta_N} [\hat{\Gamma}]\{u\} = 0 \quad (28-f)$$

که در آن،

$$[\hat{\alpha}] = [Z]^{-1}[\alpha][Z], \quad [\hat{g}_a] = [Z]^{-1}[\tilde{g}_a][Z], \quad (28-b)$$

$$[\hat{\Gamma}] = [Z]^{-1}[\tilde{\Gamma}][Z], \quad [\hat{\eta}] = [Z]^{-1}[\tilde{\eta}][Z]$$

هنگامی که فرکانس تحریک نیروی درون صفحه ای  $\Omega$  در محدوده دو برابر اولین فرکانس طبیعی تکراری سیستم  $\omega$  باشد، کوچک ترین تغییر در پارامترهای سیستم می تواند منجر به وجود آمدن پاسخ هایی با دامنه هایی بسیار بزرگ شود. لذا جهت بررسی و مطالعه رفتار غیرخطی سیستم هنگام رزونانس پارامتریک، با وارد کردن پارامتر تنظیم کننده  $\sigma$  می توان رابطه تشدید پارامتریک فرکانس را به صورت  $\Omega = 2\omega + \sigma \varepsilon^\beta$  بیان کرد.  $\beta$  پارامتری است که بایستی تعیین شود. حل تقریبی و مرتبه اول معادله (۲۸-الف) را می توان به شکل زیر در نظر گرفت:

$$u_n(t, \varepsilon) = \varepsilon^{-\beta_n} (u_{n_0}(T_0, T_1) + \varepsilon^{\beta_0} u_{n_1}(T_0, T_1) + \dots) \quad (29)$$

$$, \quad T_n = \varepsilon^{n\beta_0} t, \quad n = 0, 1$$

با انجام یک سری عملیات ریاضی و ساده‌سازی‌ها معادلات پاسخ سیستم در شرایط ماندگار به صورت زیر به دست می‌آید:

$$\begin{aligned} 2\omega_1 \hat{g}_a a_1 + \hat{\eta}_{12} F_x a_2 \sin \gamma_2 \\ + \left( \frac{3}{4} \hat{f}_{1222} a_2^3 + \Lambda \hat{a}_{12} a_2 \right) \sin \gamma_1 &= 0 \\ 2\omega_1 \hat{g}_a a_2 + a_1 \sin \gamma_1 &= 0 \\ \sigma \omega_1 a_1 + \hat{\eta}_{12} F_x a_2 \cos \gamma_2 \\ + \left( \frac{3}{4} \hat{f}_{1222} a_2^3 + \Lambda \hat{a}_{12} a_2 \right) \cos \gamma_1 &= 0 \\ \sigma \omega_1 a_2 + a_1 \cos \gamma_1 &= 0 \end{aligned} \quad (30)$$

که در آن،  $\gamma_1 = \theta_1 - \theta_2$  و  $\gamma_2 = \sigma T_1 - \theta_1 - \theta_2$  است. با حل معادلات اخیر می‌توان حل‌های بدیهی / غیر بدیهی سیستم در شرایط ماندگار را به دست آورد. برای بررسی پایداری حل‌های ماندگار غیر بدیهی، فرض می‌کنیم که  $a_1^s, a_2^s, \gamma_1^s$  و  $\gamma_2^s$  به ترتیب نشان‌دهنده حل‌های غیر بدیهی معادلات (۳۰) در شرایط ماندگار برای دامنه و فاز سیستم در شکل نمود های اول و دوم ارتعاشی باشند. از این رو، می‌توان حل کلی را به صورت مجموع حل‌های پایا و اغتشاشی به شکل زیر بیان کرد:

$$\begin{aligned} a_1(t) &= a_1^s + C_1 e^{rt} \\ a_2(t) &= a_2^s + C_2 e^{rt} \\ \gamma_1(t) &= \gamma_1^s + C_3 e^{rt} \\ \gamma_2(t) &= \gamma_2^s + C_4 e^{rt} \end{aligned} \quad (31)$$

که در آن  $C_i e^{rt}(t)$  بیانگر اغتشاشات جزئی نسبت به وضعیت پایا است. با استفاده از روابط (۳۱) و معادلات (۳۰) معادله مشخصه زیر که توصیف‌کننده وضعیت پایداری یا ناپایداری حل‌های اغتشاشی است، به دست می‌آید:

$$\lambda^4 + b_1 \lambda^3 + b_2 \lambda^2 + b_3 \lambda + b_4 = 0 \quad (32)$$

مطابق معیار راث-هوریتز اگر به صورت هم‌زمان، بخش حقیقی تمامی ریشه‌های معادله (۳۲) که نشانگر مقادیر ویژه ماتریس ضرایب سیستم خطی شده است؛

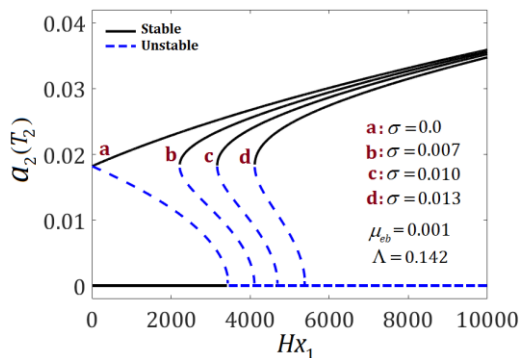
منفی باشند، حل غیر بدیهی سیستم پایدار خواهد بود [27].

### تحلیل تشدید پارامتریک مغناطیسی.

در این قسمت به بررسی عددی رفتار میکرو لوله که به صورت هم‌زمان تحت تحریک مغناطیسی پارامتریک (در محدوده اولین فرکانس طبیعی) و در حضور جریان محوری سیال پرداخته می‌شود. در این راستا با فرض  $\mu_{eb} = 0.001$  و  $\sigma = 0.001$  در شکل (۹) تغییرات

دامنه تشدید میکرو لوله با نسبت ابعاد  $\beta = h/R = 0.1$  و  $\eta = L/R = 100$  دامنه ترم هارمونیک تحریک مغناطیسی  $H_{x1}$  بعد از نقطه شروع فلاتر (متناظر با سرعت بحرانی  $V_{cr}$ ) با سرعت اغتشاشی  $\Lambda = 0.142$  نشان داده شده است. مطابق این شکل، منحنی‌های مشخصه دامنه تشدید دربرگیرنده حل‌های بدیهی (صفر) و غیر بدیهی (غیر صفر) است. در این شکل منحنی‌های پیوسته بیانگر حل پایدار و منحنی‌های منقطع بیانگر حل ناپایدار هستند. در ناحیه I اثر ویسکوزیته جریان سیال که نقش میرایی سیستم را دارا است غالب بر اثر دامنه تحریک مغناطیسی است و در این ناحیه فقط یک حل صفر بدیهی پایدار برای دامنه تشدید وجود دارد و بیان‌کننده این واقعیت است که در این ناحیه تشدید میکرو لوله تحریک نخواهد شد. با افزایش دامنه نیروی تحریک بدون بعد، اولین گره زینی دوشاخگی (Saddle-Node Hopf bifurcation) یعنی نقطه A ظاهر می‌شود. بعد از گذر از این نقطه و در ناحیه II با توجه به تعامل بین اثرات جمله میرایی ناشی از ویسکوزیته و تحریک مغناطیسی، ابتدا یک حل غیر بدیهی غیر صفر پریودیک ناپایدار (سیکل حدی نوسانی ناپایدار) و یک حل غیر بدیهی غیر صفر پریودیک پایدار (سیکل حدی نوسانی پایدار) برای دامنه تشدید  $a_2$  وجود دارد. در ادامه و با افزایش دامنه نیروی تحریک حل ناپایدار از بین رفته و دومین نقطه دوشاخگی از نوع زیر بحرانی (نقطه B)

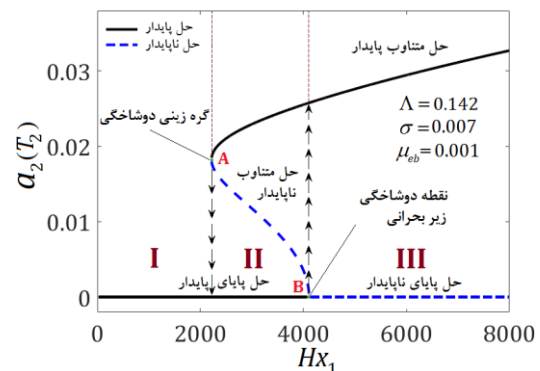
افزایش مقدار پارامتر تنظیم فرکانس، اثر پایدارکننده روی منحنی‌های پاسخ می‌گذارد. از طرف دیگر مطابق این شکل مشاهده می‌شود که با افزایش مقدار پارامتر تنظیم‌کننده فرکانس دامنه تشدید کاهش می‌یابد.



شکل «۱۰»: منحنی‌های تغییرات دامنه تشدید بر حسب پارامتر دامنه تحریک مغناطیسی به ازای چهار مقدار مختلف پارامتر تنظیم‌کننده فرکانس

**آنالیز پاسخ فرکانسی.** در شکل (۱۱) منحنی‌های پاسخ فرکانسی برای مقادیر  $Hx_0 = 20000$ ،  $Hx_1 = 3900$ ،  $\mu_{eb} = 0.001$  و  $\Lambda = 0.142$  نشان داده شده است. با توجه به این شکل دیده می‌شود که در ناحیه I با افزایش پارامتر تنظیم  $\sigma$  در بازه فرکانسی داده شده فقط یک حل بدیهی صفر پایدار برای دامنه تشدید وجود خواهد داشت. به عبارت دیگر در این ناحیه، تشدید میکرولوله تحریک نخواهد شد. با افزایش تدریجی پارامتر  $\sigma$  اولین نقطه دوشاخگی زینی (متناظر با نقطه A) ظاهر می‌شود چنین دوشاخگی زینی مانند منجر به بروز پدیده جهش دامنه می‌شود که در ضمن این جهش، پاسخ سیستم از نقطه A به صورت ناگهانی به سمت حل بدیهی صفر پایدار جذب می‌شود. بعد از گذر از این نقطه دوشاخگی یعنی در ناحیه II، ابتدا یک حل پریودیک غیر بدیهی غیر صفر ناپایدار (متناظر با سیکل حدی نوسانی ناپایدار) و یک حل پریودیک غیر بدیهی غیر صفر پایدار (متناظر با سیکل حدی نوسانی پایدار) برای دامنه تشدید وجود خواهد داشت. در این ناحیه، پدیده تشدید اتفاق

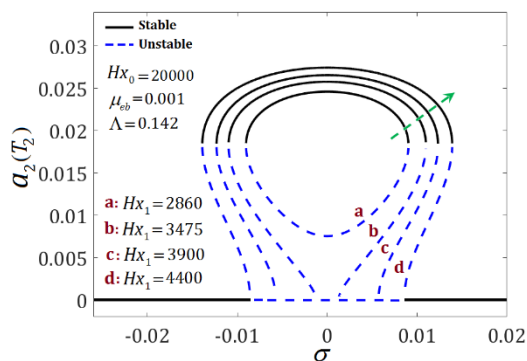
نیز ظاهر می‌شود. بعد از گذر از نقطه دوشاخگی دوم، سیستم فقط دارای یک حل غیر بدیهی پایدار متناظر با وجود سیکل حدی نوسانی پایدار خواهد بود (ناحیه III) که بیانگر این واقعیت است که در ناحیه III اثر دامنه ترم هارمونیک تحریک مغناطیس غالب بر اثر ویسکوزیته بوده و همواره یک حل پریودیک غیر بدیهی غیر صفر پایدار وجود داشته و تشدید میکرولوله اتفاق می‌افتد. با توجه به شکل (۹)، در نقاط A و B پدیده جهش دامنه اتفاق می‌افتد به نحوی که در مقادیر دامنه تحریک متناظر با این جهش‌ها، پاسخ‌های سیستم به ترتیب از حل‌های غیر بدیهی پریودیک و بدیهی صفر سریعاً به سمت حل‌های بدیهی صفر و غیر بدیهی پریودیک جذب می‌شوند.



شکل «۹»: منحنی‌های تغییرات دامنه تشدید بر حسب پارامتر دامنه تحریک مغناطیسی میکرولوله

در شکل (۱۰) منحنی‌های تغییرات دامنه تشدید بر حسب پارامتر دامنه تحریک مغناطیسی برای چهار مقدار مختلف از پارامتر تنظیم‌کننده فرکانس  $\sigma = 0, 0.007, 0.01, 0.013$  ترسیم شده است. از روی این شکل می‌توان دریافت در حضور جریان محوری سیال از داخل میکرولوله با سرعت اغتشاشی  $\Lambda = 15$  تشدید میکرولوله همواره تحریک شده و افزایش پارامتر تنظیم  $\sigma$  باعث انتقال نقاط دو شاخگی زینی و زیر بحرانی منحنی‌ها به سمت راست شده و سبب کاهش عرض منطقه تشدید می‌شود. در نتیجه

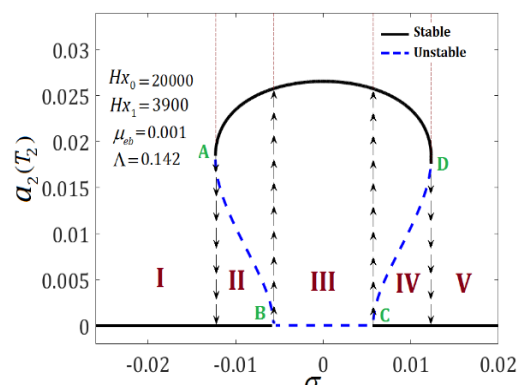
شکل (۱۲) نشان‌دهنده منحنی‌های مشخصه پاسخ فرکانسی برای چهار مقدار مختلف دامنه تحریک مغناطیسی میکرو لوله  $H_{x1} = 2860, 3475, 3900, 4400$  و رای نقطه شروع فلاتر (متناظر با سرعت بحرانی  $V_{cr}$ ) با سرعت اغتشاشی  $\Lambda = 0.142$  است. مطابق این شکل می‌توان دریافت که افزایش اندازه دامنه تحریک مغناطیسی اثر ناپایدار کننده دارد به نحوی که سبب افزایش عرض منطقه وقوع تشدید پارامتریک مغناطیسی می‌شود. به خوبی پیداست که افزایش دامنه تحریک باعث افزایش دامنه پاسخ غیرخطی یا همان دامنه تشدید می‌گردد.



شکل «۱۲»: منحنی‌های پاسخ فرکانسی برای چهار مقدار مختلف دامنه تحریک مغناطیسی میکرو لوله

شکل (۱۳) نشان‌دهنده منحنی‌های مشخصه پاسخ فرکانسی برای چهار مقدار مختلف از ترم هارمونیک دامنه تحریک مغناطیسی  $H_{x1} = 2860, 3475, 3900, 4400$  با سرعت اغتشاشی  $\Lambda = 0.146$  است. مطابق این شکل می‌توان دریافت که افزایش دامنه تحریک مغناطیسی از حالت a به سمت حالت d اثر ناپایدار کننده داشته و باعث عریض‌تر شدن منطقه وقوع رزونانس می‌شود. در ضمن به خوبی پیداست که افزایش دامنه تحریک موجب افزایش دامنه رزونانس می‌گردد.

می‌افتد. با ادامه افزایش پارامتر تنظیم نقطه دوشاخگی دوم از نوع زیر بحرانی نیز ظاهر می‌شود (نقطه B). بعد از عبور از نقطه دوشاخگی دوم در ناحیه III، ابتدا یک حل پریودیک غیر بدیهی ناپایدار و یک حل پریودیک غیر بدیهی پایدار برای دامنه تشدید وجود خواهد داشت. در این ناحیه مشاهده می‌شود که با افزایش مقدار پارامتر تنظیم فرکانس تا نقطه صفر ابتدا دامنه تشدید افزایش و سپس بعد از گذر از نقطه صفر دامنه تشدید کاهش می‌یابد. در ناحیه III بعد از گذر از نقطه صفر و با ادامه افزایش تدریجی پارامتر تنظیم، نقطه دوشاخگی سوم نیز ظاهر می‌شود که در این ناحیه نیز مشابه ناحیه II، ابتدا یک حل پریودیک غیر بدیهی ناپایدار و یک حل پریودیک غیر بدیهی پایدار برای دامنه پاسخ وجود خواهد داشت. با افزایش پارامتر تنظیم در این ناحیه و بعد از گذر از این نقطه دوشاخگی زینی (نقطه D)، منحنی که نشان‌دهنده حل غیر بدیهی پایدار است به سمت عقب دو شاخه می‌شود. چنین دوشاخگی زینی مانند منجر به اتفاق افتادن پدیده جهش دامنه می‌شود که در ضمن این جهش، پاسخ سیستم از نقطه D سریعاً به سمت حل بدیهی پایدار جذب می‌شود. بعد از عبور از این نقطه دوشاخگی حل‌های غیر بدیهی ناپدید شده و سیستم فقط یک حل بدیهی پایدار خواهد داشت.

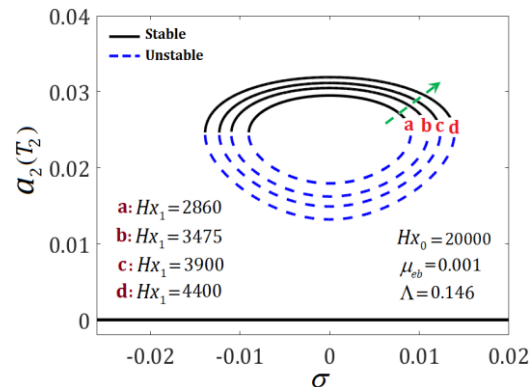


شکل «۱۳»: منحنی‌های پاسخ فرکانسی میکرو لوله

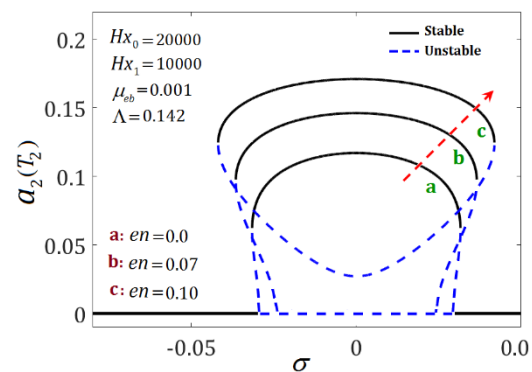
### نتیجه گیری

در تحقیق حاضر مسئله ناپایداری ارتعاشات غیرخطی غیرمحملی میکرولوله حاوی سیال با خواص مغناطیسی شونده تحت تحریک مغناطیسی پارامتریک در حضور جریان محوری سیال و رای ناپایداری فلاتر مورد بررسی قرار گرفت. برای این منظور معادلات دیفرانسیل حاکم بر حرکات محوری، دورانی و جانبی میکرولوله با مدل تیر مرتبه اول ردی با احتساب اثر جملات غیرخطی هندسی، اثر ویسکوزیته سیال و اثر شتاب جانب مرکز سیال استخراج گردید.

نشان داده شد که در غیاب اثر میرایی، در سرعت‌های جریان  $V \leq 1.815$  سیستم خطی به صورت نوسانی پایدار بوده حال آنکه با افزایش سرعت جریان در بازه  $1.815 \leq V \leq 4.045$  نوسانات سیستم دچار ناپایداری می‌گردد حال آنکه در بازه  $4.045 \leq V \leq 4.185$  سیستم پایداری نوسانی خود را بازمی‌یابد. در بازه سرعت‌های  $V \geq 4.185$  به سبب کوپلینگ دینامیکی مودها، پدیده فلاتر رخ می‌دهد به نحوی که در این محدوده دینامیک حاکم بر نوسانات میکرولوله حامل سیال دارای فرکانس‌های طبیعی تکراری خواهد بود. لذا به منظور ممانعت از بروز هرگونه ناپایداری اعم از نوع واگرائی و فلاتر بایستی محدوده انتخاب سرعت جریان در بازه‌های  $V \leq 1.815$  و  $4.045 \leq V \leq 4.185$  واقع گردد زیرا در این محدوده رفتار سیستم به صورت نوسانی پایدار (نامیرا با دامنه ثابت) خواهد بود که به نوبه خود می‌توان ماهیت این رفتار نوسانی را نیز با افزودن میرایی به رفتار نوسانی میرا تغییر ماهیت داد. حال آنکه خارج از محدوده‌های سرعت یاد شده، ماهیت نوسانات سیستم دچار ناپایداری دینامیکی (با دامنه افزایشی نسبت به زمان) یا فلاتر (سیکل حدی نوسانی) می‌شود که در طراحی‌های مهندسی نیز شناسایی محدوده‌های این نوع رفتار جهت ممانعت از بروز صدمات فیزیکی و خستگی ضروری می‌نماید.



شکل «۱۳»: منحنی‌های پاسخ فرکانسی برای چهار مقدار از دامنه تحریک مغناطیسی



شکل «۱۴»: مقایسه منحنی‌های پاسخ فرکانسی برای سه مقدار مختلف از پارامتر غیرمحملی تنش

**مطالعه اثر پارامتر مشخصه غیرمحملی تنش روی منحنی پاسخ-فرکانس میکرولوله.** شکل (۱۴) نشان‌دهنده منحنی‌های مشخصه پاسخ-فرکانس برای سه مقدار مختلف از پارامتر بی‌بعد مشخصه غیرمحملی تنش (پارامتر مشخصه مقیاس)  $en = 0, 0.07, 0.1$  با ثابت نگه‌داشتن پارامترهای دیگر مسئله به صورت  $Hx_0 = 20000, Hx_1 = 20000, \mu_{eb} = 0.001$  و  $\Lambda = 0.142$  است. مطابق این شکل پیداست که افزایش مقدار پارامتر مشخصه غیرمحملی تنش اثر ناپایدارساز داشته و سبب افزایش عرض منطقه وقوع رزونانس پارامتریک مغناطیسی می‌شود. از طرف دیگر با افزایش پارامتر مشخصه غیرمحملی تنش، دامنه پاسخ غیرخطی یا همان دامنه رزونانس افزایش می‌یابد.

همچنین نتایج آنالیز عددی ناپایداری فلاتر نشان داد که افزایش مقادیر پارامترهای مشخصه غیرمحلی ارینگن (پارامتر مشخصه مقیاس) اثر ناپایدار ساز دارد به طوری که با افزایش آنها ناپایداری فلاتر در فرکانس‌های پائین تر اتفاق می‌افتد.

برای تحلیل رفتار سیستم غیرخطی در ورای نقطه ناپایداری فلاتر با استفاده از روش مقیاس‌های چندگانه و تحت شرایط تشدید پارامتریک مغناطیسی معادلات پاسخ فرکانسی و مغناطیسی استخراج گردید و پایداری حل‌های صفر و غیر صفر این معادلات در شرایط ماندگار تحلیل شد. در بازه‌های پارامتر تنظیم فرکانسی  $0.0057 \leq \sigma \leq 0.0123$  و  $-0.0123 \leq \sigma \leq -0.0057$ ، تشدید میکرو لوله تحریک می‌شود طوری که با تغییر پارامتر تنظیم فرکانس در بخشی از این محدوده، دو حل غیر صفر پررودیک ناپایدار و پایدار به ترتیب متناظر با سیکل حدی نوسانی ناپایدار و پایدار برای دامنه تشدید وجود خواهد داشت. طوری که با انتخاب  $\sigma = 0.01$  از این بازه، سیستم غیرخطی دچار تشدید متناظر با سیکل حدی نوسانی ناپایدار و پایدار به ترتیب با دامنه‌های  $a_2 = 0.0106$  و  $a_2 = 0.0234$  خواهد شد. از طرف دیگر در محدوده  $|\sigma| \leq 0.0057$ ، سیستم فقط یک حل غیر صفر پررودیک پایدار خواهد داشت. اما در خارج از بازه‌های فرکانسی فوق‌الذکر یعنی  $|\sigma| \geq 0.0057$  تشدید سیستم غیرخطی تحریک نخواهد شد.

لذا در طراحی‌های مهندسی و تحت شرایط عملکردی خاص سیستم غیرخطی تحت تحریک پارامتریک مغناطیسی، اگر سرعت جریان از داخل میکرو لوله آن‌سوی و در نزدیکی سرعت بحرانی فلاتر، واقع گردد، شناسایی تنوع رفتاری سیستم اعم از بروز

تشدید یا عدم بروز تشدید، نسبت به تغییر پارامتر تنظیم فرکانس تحریک، جهت ممانعت از رشد ناخواسته دامنه نوسانات لوله حامل سیال ضروری است.

علاوه بر این نشان داده شد که افزایش پارامتر مشخصه غیرمحلی تنش و دامنه تحریک مغناطیسی، اثرات ناپایدار کننده داشته و سبب عریض تر شدن منطقه وقوع رزونانس پارامتریک و افزایش دامنه پاسخ غیرخطی می‌گردند. همچنین افزایش پارامتر تنظیم فرکانس، اثر پایدارکننده داشته و سبب کاهش عرض منطقه تشدید و دامنه تشدید می‌شود.

### واژه‌نامه

Microtube	میکرو لوله
Fluid Conveying	حاوی سیال
Nonlinear Vibration	ارتعاشات غیرخطی
Parametric Resonance	تشدید پارامتریک
Nonlocal Elasticity	الاستیسیته غیرمحلی
Nondimensionalization	بی بعد سازی
Flutter critical velocity	سرعت بحرانی فلاتر
Coupled mode shape	شکل مود کوپله شده
Frequency regulator parameter	پارامتر تنظیم فرکانسی
Flutter instability	ناپایداری فلاتر
Bifurcation	دو شاخگی
Resonant amplitude	دامنه تشدید
Magnetic excitation	تحریک مغناطیسی
Scale characteristic parameter	پارامتر مشخصه مقیاس



## مراجع

1. Paidoussis, M.P., Price, S.J. and De Langre, E., "Fluid-structure interactions: cross-flow-induced instabilities", Cambridge University Press, (2010).
2. Paidoussis, M.P. and Li, G.X., "Pipes conveying fluid: a model dynamical problem", *Journal of Fluids and Structures*, 7(2), pp. 137-204, (1993).
3. Sinha, J.K., Singh, S. and Rao, A.R., "Finite element simulation of dynamic behaviour of open-ended cantilever pipe conveying fluid", *Journal of Sound and Vibration*, 1(240): pp. 189-194, (2001).
4. Ansari, R., Norouzzadeh, A., Gholami, R., Shojaei, M. Faghih and Darabi, M. A. "Geometrically nonlinear free vibration and instability of fluid-conveying nanoscale pipes including surface stress effects", *Microfluidics and Nanofluidics*, 20(1), pp. 28, (2016).
5. Ansari, R., Norouzzadeh, A., Gholami, R., Shojaei, M. Faghih and Hosseinzadeh, M., "Size-dependent nonlinear vibration and instability of embedded fluid-conveying SWBNNTs in thermal environment", *Physica E: Low-dimensional Systems and Nanostructures*, 61, pp. 148-157, (2014).
6. Ghazavi, M.R. and Molki, H., "Nonlinear analysis of the micro/nanotube conveying fluid based on second strain gradient theory", *Applied Mathematical Modelling*, 60: pp. 77-93, (2018).
7. Ghazavi, M.-R., Rezazadeh, G. and Azizi, S., "Pure parametric excitation of a micro cantilever beam actuated by piezoelectric layers", *Applied Mathematical Modelling*, 34(12): pp. 4196-4207, (2010).
8. Eringen, A.C. and Edelen, D.G.B., "On nonlocal elasticity", *International Journal of Engineering Science*, 10(3), pp. 233-248, (1972).
9. Eringen, A.C., "On differential equations of nonlocal elasticity and solutions of screw dislocation and surface waves", *Journal of Applied Physics*, 54(9), pp. 4703-4710, (1983).
10. Lei, Y., Adhikari, S. and Friswell, M.I., "Vibration of nonlocal Kelvin-Voigt viscoelastic damped Timoshenko beams", *International Journal of Engineering Science*, 66, pp. 1-13, (2013).
11. Kiani, K., "Nanofluidic flow-induced longitudinal and transverse vibrations of inclined stocky single-walled carbon nanotubes", *Computer Methods in Applied Mechanics and Engineering*, 276, pp. 691-723, (2014).
12. Arani, A.G., Haghparast, E., Maraghi, Z. Khoddami and Amir, S., "Nonlocal vibration and instability analysis of embedded DWCNT conveying fluid under magnetic field with slip conditions consideration", *Proceedings of the Institution of Mechanical Engineers, Part C: Journal of Mechanical Engineering Science*, 229(2), pp. 349-363, (2015).
13. Sadeghi-Goughari, M., Jeon, S. and Kwon, H.-J., "Flutter instability of cantilevered carbon nanotubes caused by magnetic fluid flow subjected to a longitudinal magnetic field", *Physica E: Low-dimensional Systems and Nanostructures*, 98, pp. 184-190, (2018).
14. Bahaadini, R. and Hosseini, M., "Effects of nonlocal elasticity and slip condition on vibration and stability analysis of viscoelastic cantilever carbon nanotubes conveying fluid", *Computational Materials Science*, 114, pp. 151-159, (2016).
15. Bahaadini, R., Hosseini, M. and Jamali, B., "Flutter and divergence instability of supported piezoelectric nanotubes conveying fluid", *Physica B: Condensed Matter*, 529: pp. 57-65, (2018).
16. Yang, T.-Z., Ji, Sh., Yang, X.-D. and Fang, B., "Microfluid-induced nonlinear free vibration of microtubes", *International Journal of Engineering Science*, 76, pp. 47-55, (2014).
17. Saadatnia, Z. and Esmailzadeh, E. "Nonlinear harmonic vibration analysis of fluid-conveying piezoelectric-layered nanotubes", *Composites Part B: Engineering*, 123, pp. 193-209, (2017).
18. Yang, X., Yang, T. and Jin, J., "Dynamic stability of a beam-model viscoelastic pipe for conveying pulsative fluid", *Acta Mechanica Solida Sinica*, 20(4): pp. 350-356, (2007).

19. Arani, A.G., Amir, S., Dashti, P. and Yousefi, M., "Flow-induced vibration of double bonded visco-CNTs under magnetic fields considering surface effect", *Computational Materials Science*, 86, pp. 144-154, (2014).
20. Zhang, W., Yang, J. and Hao, Y., "Chaotic vibrations of an orthotropic FGM rectangular plate based on third-order shear deformation theory", *Nonlinear Dynamics*, 59(4), pp. 619-660, (2010).
21. Amabili, M. and Farhadi, S., "Shear deformable versus classical theories for nonlinear vibrations of rectangular isotropic and laminated composite plates", *Journal of Sound and Vibration*, 320(3), pp. 649-667, (2009).
22. Fu, Y.-m. and Ruan, J.-l., "Nonlinear active control of damaged piezoelectric smart laminated plates and damage detection", *Applied Mathematics and Mechanics*, 29(4): pp. 421-436, (2008).
23. Ghorbanpour Arani, A., Amir, S. and Karamali Ravandia, A. "Nonlinear flow-induced flutter instability of double CNTs using Reddy beam theory", *Journal of Computational Applied Mechanics*, 46(1): pp. 1-12, (2015).
24. Wang, L., "A modified nonlocal beam model for vibration and stability of nanotubes conveying fluid", *Physica E: Low-dimensional Systems and Nanostructures*, 44(1), pp. 25-28, (2011).
25. Eslami, H., "Nonlinear flutter and forced oscillations of rectangular symmetric cross-ply and orthotropic panels using harmonic balance and perturbation methods", Old Dominion University, (1987).
26. Onawola, O.O. and Sinha, S.C., "A feedback linearization approach for panel flutter suppression with piezoelectric actuation", *Journal of Computational and Nonlinear Dynamics*, 6(3), pp. 031006, (2011).
27. Guo, X.Y., Zhang, W. and Yao, M., "Nonlinear dynamics of angle-ply composite laminated thin plate with third-order shear deformation", *Science China Technological Sciences*, 53(3), pp. 612-622, (2010).